

譯文

觀測處理

第一章 地震波

ЕФ СІВ АРЕНСКИЙ

地震工作的基本任務之一是確定地震中的位置和震源深度。为此，首先要測定震中距。从而可以決定該地震是近震抑是遠震（精確的區分見後）。在處理近震時必須估計到地殼構造地方性的特徵；而在處理遠震時則必須估計到地震波在地球內傳播的一般情況。本章簡要介紹關於地震波即因地震而產生的彈性波的傳播和形成知識。其餘各章，注意力則主要是放在地震觀測處理的一般法則上。

地震台安裝基爾諾斯地震儀。為時尚不久。因此，所引用的處理觀測的實例，基本上是利用伽利津和尼基佛洛夫式地震儀的觀測結果。

第一章 彈性波

任何固体，在外力的作用下，都將發生形變，即經受大小和形狀的變化。隨着外力的增加，這些變化——形變也隨着增加。在張力變化不大的情況下，張力與形變成正比（虎克定律）。比例常數稱為彈性模量。

現在我們來研究三個基本的例子：

第一種情況（見圖65，a）。力F使具有長度l、橫截面積S的棒伸長，其長度增加 Δl 。在這種情況下，虎克定律可寫成下式：

$$\frac{F}{S} = E \frac{\Delta l}{l}$$

式中， $\frac{F}{S}$ 為作用在單位橫截面積上的力，等於內部張力； $\frac{\Delta l}{l}$ 為單位長的增加值。

比例系数 E 称为楊氏模量。假如棒的截面积不变，则在棒的每一截面上其相对伸长是相同的。假如其某部分收缩，则该截面上的張力 F / 或增加。那时在該部分的伸长也就随之增大。

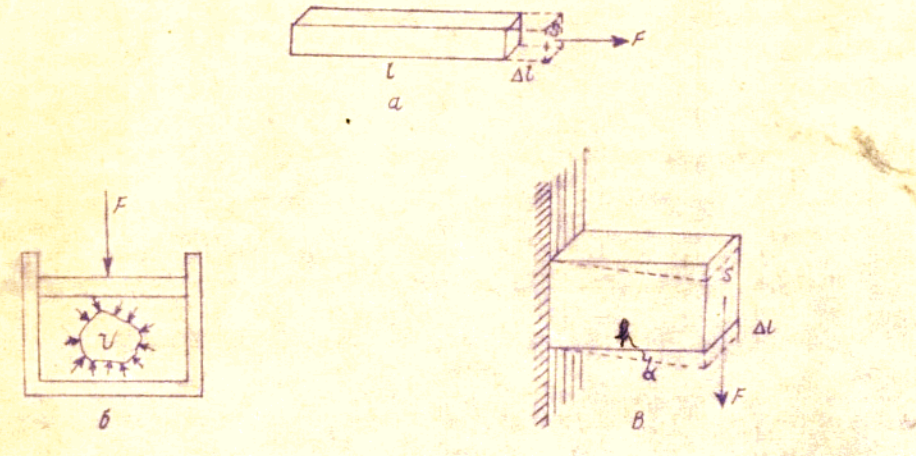


图 65

图 65 物体形变的基本形式

第二种情况（见图 65，6）。面积 s 的固体，遭受各个方向上的压力（例如，把它放在盛满液体带有活塞的圆柱体中，然后向活塞加压力 F ）其体积 v 缩小容量 Δv

$$\text{则: } \frac{F}{s} = K \frac{\Delta v}{v}$$

式中， $\frac{F}{s}$ 为压力，它引起物体内部的彈性張力。

系数 K 称为各向压缩模量。 K 愈大，物体反抗体积的变化愈强。

第三種情況（見圖65，B）。長方形短柱体長 h ，橫截面積 s ，其一端固定。施以作用力 F 於其上；此力平行於固體端的平面，作用於自由端上。這時，自由端的位置移動 Δl 。則剪切角 $\gamma = \frac{\Delta l}{h}$ 與切應張力 $\frac{F}{s}$ 的關係式如下：

$$\frac{F}{s} = \mu \gamma$$

系数 μ 稱為切變模量。在切變時柱體的形狀改變。因此，對於液體介質（；按研究流變是無阻力的）來說，切變等於或趨近於零。

一般情況，彈性的形變是決定於其質點相對位置的變化。如果在彈性體內任取一點和圍繞這一點的小部分，那麼形變可以由該部分的任意一點的位移來說明。在對於最初選擇點的關係上而言，此位移可分解為：(1)僅與各點間距離大小變化有關的位移；和(2)僅與第二點對於第一點的方向轉變有關的位移。該部分線性單元大小的改變，同時也引起其體積的改變。

由衝量所引起的形變，是以波的形式沿着充滿彈性介質的空間傳播的（如通過地球傳播）。

在彈性介質中由於傳播体积的局部變化所引起各點的位移，形成了縱波 P 。僅由於形變部分線性單元方向的改變而引起的各點的位移便形成橫波—— S 。縱波傳播的方向與質點振動的方向一致。這種關係，在橫波的傳播中不可能存在。因為產生橫波的時候，質點是在與波的傳播線成垂直的平面上作任何方向上的振動的。

在均勻介質中，縱波的傳播速度為 $\sqrt{\frac{k+4/3\mu}{\rho}}$ ；橫波為 $\sqrt{\frac{\mu}{\rho}}$ 。這里 ρ 代表密度； k 代表壓縮模量； μ 代表切變模量。彈性波在地面和地層的分界面上發生反射和折射。縱波在分界面上發生反射和折射，同時又產生縱波與橫波。後者有偏振的，即質點在地震射線的垂直於界面的平面上振動。橫波發生反射和折射時，同時也產生縱波與橫波。然而當橫波中

的質點作平行於兩介質的分界面振动时，或者入射縱波中的質點作垂直於兩介質分界面振动时，則情況例外；这时，仅产生橫波，或者仅相应地产生反射縱波。最强的波是在地面和地核表面发生反射时产生的。縱波和橫波到达地面时，地面上便产生一种特殊的面波。在所謂瑞雷面波中，質點（也如在海浪中一样）是作上下振动和前后振动的。由於这两种振动的力合成，質點便沿着橢圆形的軌跡运动：振幅迅速随深度而減小，这种波的傳播速度約比橫波的傳播速度小10%。

在地殼地层中还产生一种勒甫面波，勒甫面波通过时，質點在水面上作垂直於傳播綫的振动。勒甫波的速度大於地殼內橫波的速度，然而小於地殼底层（НИЖЕ ЛЕЖАЩАЯ ОБОЛОЧКА）內橫波的速度，它決定於振动的周期和地殼的厚度。

很显然，震源愈深，縱波和橫波在射出地面时的强度就愈小，而面波也就愈弱。

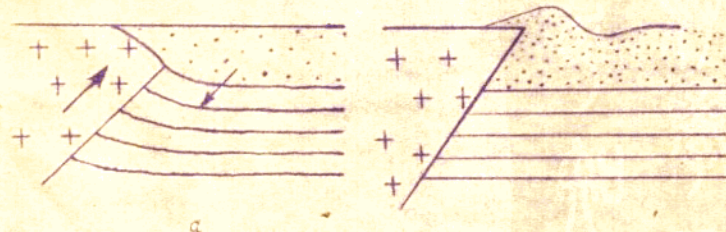
第二节 地震波的产生和震源结构

地震，特別是深原地震，一般都是有橫波强度极大的特征。这就駁斥了把爆炸当做是地震发生的原因这种假定。

实际上，由爆炸而产生的压力，在一切方向上都是均匀的。因此很自然，爆炸主要是引起縱波。这可用地震探礦的經驗來証实，（这时彈性波是由爆炸所 产生的）：在地震勘測紀錄图（РАЗВЕДОЧНЫЙ СЕИСМОГРАММ. 上），橫波的到达只能勉强看出。

絕大多數地震都是发生在現代造山运动的地区。觀測結果指出，在大多數地方，地震是沿着一些同一的破裂面而重複發生的。

图 66 平移断层和正断层形成简图



可以假定；在很多情况下，地震是地殼某些个别部分沿着破裂面发生错动的结果（詳見薩瓦林斯基和基爾洛斯著地質學與地震測計學術論，國家技術理論出版社1949年出版）。例如，地殼中跨平移断层或正断层的右翼在很长时期内逐渐下降时（图66，a），左翼将向右移动並遭到局部的压缩（在右翼上升时——左翼则伸长）。这时，在破裂面附近由於伸长或压缩所产生的弹性力，在超过磨擦力或內聚力时，就产生了突然的平移断层或正断层（图66，b）这种作用可能就是地震和地形局部破坏发生的原因。

强震一般都是伴随着许许多多余震，余震的强度是逐渐减弱的。余震发生的原因是由於主要时弹性張力没有完全消失，或者由於慣性作用超过了平衡状态而产生相反方向上的应力而造成。

显然，强震后的这些頻繁的颤动直到弹性張力消失时才会停止的。引起地震的原因可能是負荷过重所造成。負荷过重是由於某些内部或外部的原因产生的，例如发生大旋风时气压的改变。

在有些情况下，地震常常是在水平方向上沿着破裂面与地表面交线突然发生断层的结果。这时在 F_1 、 F_2 線的万向上将有最强的纵波发生（一部分运动，另一部分静止）。而在垂直於 F_1 、 F_2 的方向上，强度最大的是横波。最小的是纵波，倘若地殼由这两部分沿 F_1 、 F_2 線各向不同的方向上运动，则說更为複杂。

图67 在水平方向上突然發生斷層，縱橫波形成範圖

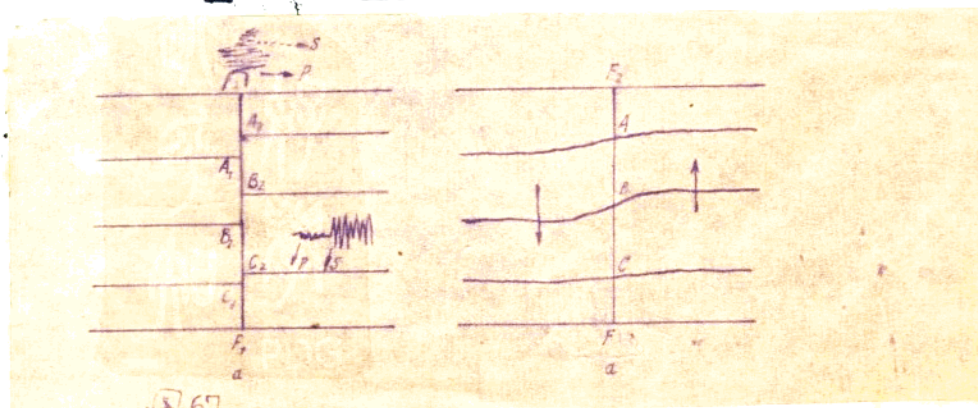


图67

根据第一个纵波到达地震台的时间所测定的震中位置，可能不是准确地符合於破坏最厉害的地区，因为地震发生的过程可能是开始在震源的一个极小区域内。

第三节 地震波在地球内部的传播

根据各种研究，已经确定地层的上部是花岗岩层，其下是密度較大的岩层，称之为玄武岩层「註1」这两层构成地层，再深一些，即是所謂中間层（ОБОНОЧНА ЗЕМЛЯ）。地层厚度平均为30—40公里，它随地区的不同而改变。〈伊尔库茨克〉地震台长德列眞科夫（А А ДРЕЖКОВ）确定有些地方地层的厚度达到80—100公里（鄂霍茨克海）。

如距离不大（800公里以内），地层的曲率可以忽略，把它們看作水平面。假如震源O（图68）是位於花岗岩层的时候，弹性波将沿着各种不同的路线（直达的、繞射的和反射的）达到观测点K。

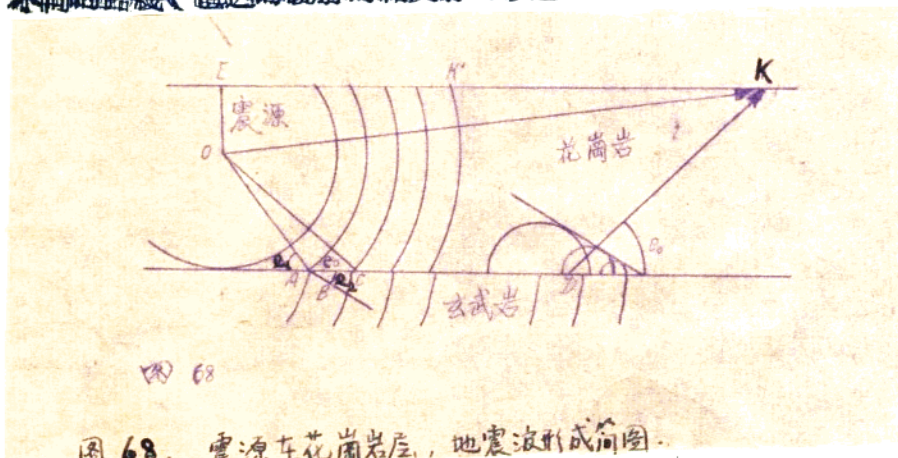


图68. 震源在花岗岩层，地震波形成简图。

图69. 震源在花岗岩层，地震波形成简图。

射到不同层（玄武岩层与中间层）分界面上时，波前的法线（射角AB）当波射到花岗岩与玄武岩层之界面分界面上时，波前的法线（射角OA与AB）和分界面构成角 ϵ_1 和角 ϵ_2 ，它们适合於

$$\frac{\operatorname{Cosec} \epsilon_1}{\operatorname{Cosec} \epsilon_2} = \frac{V_1}{V_2}$$

V_1 和 V_2 为波在第一层和第二层中的传播速度 ($V_2 > V_1$) 的条件。 V_1 和 V_2 为波在第一层和第二层中的传播速度 ($V_2 > V_1$) 「註1」可能地层較多，但直到现在，还没有把它们充分弄清楚。

当入射线倾斜愈缓时，角 ϵ_1 和角 ϵ_2 减小，最后当角 $\epsilon_1 = \epsilon$ 时，则角 ϵ_2 等于0（内部全反射）。从这时起，折射波前便沿着分界面前进，与入射波前分离并超过上层介质中的波前（详见萨瓦林斯基与基尔洛斯著地震测学概论，第95页），同时在分界面，还形成扰动，扰动又从分界面传到上层花岗岩层中（绕射波），它的射线和分界面又重新构成角 ϵ_2 。达到地球表面。根据波的轨迹或射线O C D K（折线的各线段到处都垂直于波前）计算这种波的走时就比较方便。在震中距离小的时候（不超过150—200公里），只有直达纵波和直达横波（P和S）的到达非常清楚。在震中距离大大超过上层地层的厚度时，「绕射」波，虽然经过的路程较长，然而速度大；故到地震台仍早于直达波。

因此，在震中距离不断增加的情况下，在花岗岩与玄武岩层之间的分界面上发生绕射的波——P*和S*，到达的时间最早。但是也常常发现在地殼底层上发生绕射的波——P和S（它们的形成与P*和S*同），因为它们到达时间最早。

震中距离达到800公里时，地层的曲率和地殼下的傳播速度随深度而增加的现象，都开始显出影响来。因此，射线下环便开始浸入地殼底层下面（下层界面），并逐步变为远震的一般弯曲射线（图69）。这时，直达波由于地层曲率的关系，是不能到达地震台的（震源愈深，则能够观测到直达波的震中距的范围就愈小）。

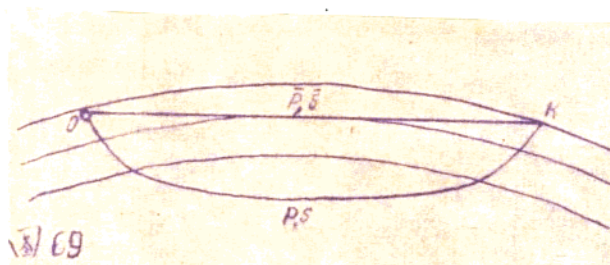


图69，震中距离大的地震波传播

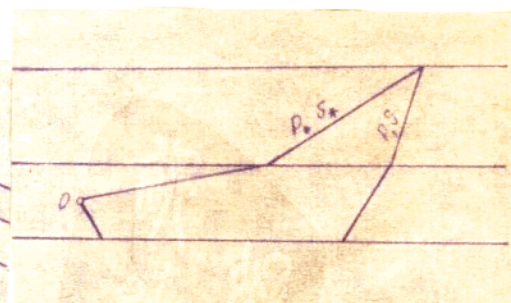


图70，震源在玄武岩层中地震波形简图

當震源位於玄武岩層時(圖70)，在花崗岩與玄武岩層之間的界面上發生拏射的波將能達到觀測點。它們以 P_{*} 和 S_{*} 表示。

這時沒有 P 和 S 波。而在地殼底層上發生繞射的 P 波和 S 波，其形成也如震源位於花崗岩層中的情況一樣。

假如震源位於地殼底層之下(深震)，那末就只能觀測兩種波：在地殼上下兩層界面上發生折射的 P 波和 S 波。在這種情況下，當震中距離小於震源深度時，垂直向地震儀上可記錄到相當強的縱波；而水平向地震儀上可記錄到相當強的橫波。

震中距離大時，除 P 波和 S 波之外，還將紀錄到從地球表面和地核反射來的波。從圖71可以清楚看到：能夠觀測到直接由震源O傳播來的，以及由地表面反射來的波的最小震中距離是C點(對於OB射線來說，最深的一點在震源O上)。反射點B愈接近震中，反射線沉沒的深度就愈大，而且它的出射點就愈遠。反射點B愈遠，OB-C射線的出射點也就愈遠。這種情況便可以說明距離小時震中附近之所以沒有地面反射波的原因了。

當震中距離大於 $105^{\circ}-110^{\circ}$ 時， P 和 S 波的傳播便受到地核(深度為2900公里)的阻礙了。隨著向位於地殼底層與地核之間的中間層深入，地震波的傳播速度便逐漸增大，在地核界面附近，縱波達到13.5公里/秒，橫波達到7.5公里/秒。在地核中(核面附近)，縱波速度等於8公里/秒；再往下，速度又隨深度而增加，到核心時達到11.5-12公里/秒。橫波不能穿過地核。這很可能說明地核是處在與固體不同的狀態中(準確的說明很困難，因為在試驗室里不能製造像在地核表面上那樣大於一百萬大氣壓的壓力。我們也還不清楚物質處在這樣高的壓力下其物理性質如何)。地核內的切變系數大概趨近於零。

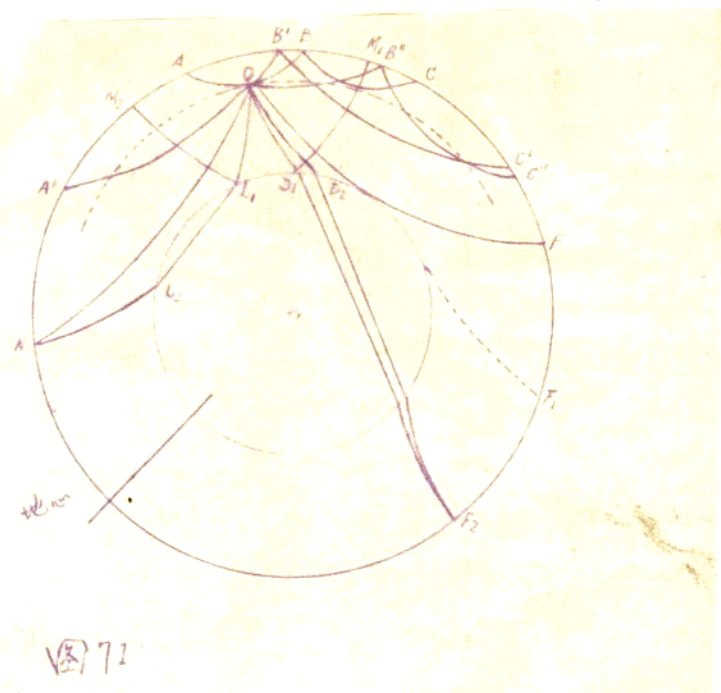


图 71

图 71，震中距离大的情况下地震波传播图（震源在玄武岩层）

在地核表面上，纵波的射线发生折射並向地心偏斜。因而地核使地震射线发生折射和聚集的情形，也与玻璃透鏡使光線折射和集中於焦点的情形一样。由於球表面像差的結果，地震射線不能聚集於一点——震源影像上，而是彼此交叉。这可說明纵波經過兩条路綫能够达到 F_2 (見图 71)，並且時間也各不相同。在地核发生折射的纵波，由於地核把它们聚集，所以具有很大的强度，並且射出地面的地方也大大地远於 F 点。 F_1 、 F_2 地区称为地震陰影区。由於地核分界面的繞射作用，在这一地区内也能发现纵波，但它们的强度却并不大。

因为地核表面是物質的物理性質发生剧烈变化的界面，所以在分界面上便发生纵波的反射和折射 (射線 OD_1M 和 OD_2N) 以及横波的反射和折射 (射線 OL_1M 和 OL_2N)。横波在地核界面上发生折射时产生纵波 P ， P 經地核沿 L_1 、 L_2 傳播。核面下纵波傳播的速度大於核面上

橫波的速度，因此， $OL_1 L_2 N$ 射線向地面偏斜。這樣一來，作為橫波通過中間層，作為縱波通過地核的波便達到 N 點。在震中距離不超過 80—90 弧度時，一般的橫波先到達；而震中距離大時，則是上述的地核折射波 $S_K S$ 先到達。

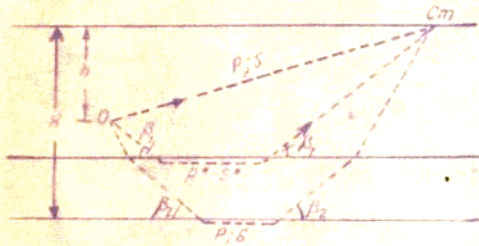


圖 72

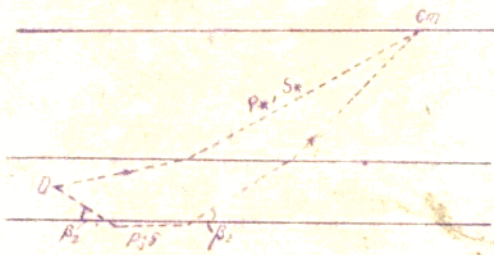


圖 73

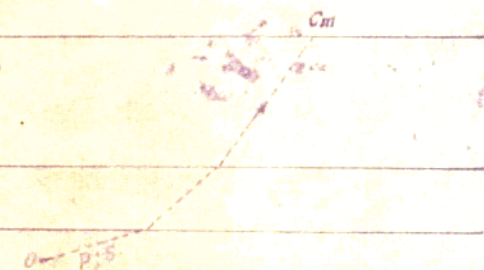
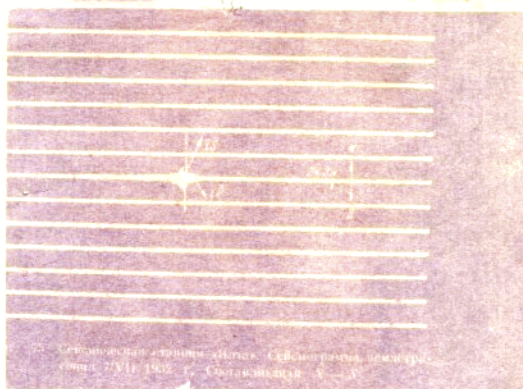
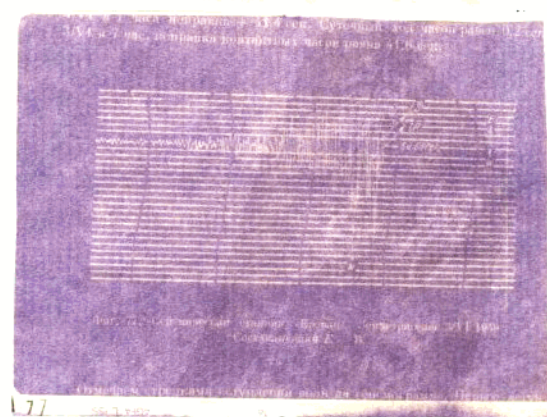
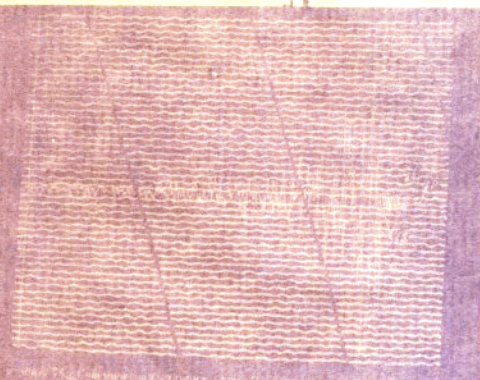


圖 74



75. Сейсмограмма землетрясения. Сейсмопункт в селе Красногорка, Камчатка. 27.VII.1962 г.



77. Сейсмограмма землетрясения. Сейсмопункт в селе Красногорка, Камчатка. 27.VII.1962 г.

觀測處理

第二章 近震

А·Я·ЛЕВИЦКОЙ

第一节 地殼內的地震波及其時距曲線

震中距不超过800—1000公里的地震，通常稱為近震。在這樣的震中距離下（根據地殼的平均厚度為30—40公里發出），地殼地層的曲率是可以忽略的；並且，震源位於地殼上層的話，除了折射波之外還可以觀測到同一地層中傳播的直達波。

近震在地震圖上所表現的特徵如下：縱波和橫波到達的時間差比較小（不超過1·5分）；記錄延續性比遠震為小；振動週期比較短，特別是在縱波到達的情況下（從 $1/10$ 秒至2秒）；最後，面波的到達不顯著，因為它與橫波重迭而隱匿不清。近震所能觀測到的波的傳播路徑，常常是隨着震源所在地層的不同而彼此互異的。

如上所述，地殼一般是分為兩個基本地層的：花崗岩層（上層）和玄武岩層、中間岩層，其下是殼下層（超基性岩層）。

每一基本地層又為幾個界面所分。但是在解釋觀測結果時，現在還不得不對這些分界面的存在加以忽略，因為它們的分界面比兩個基本地層的分界面要不明顯些。

如果震源位於上層（花崗岩層）中，地震圖上可以觀測到縱波 P ， P^* ， P 和橫波 S ， S^* ， S （圖72）。

P 波和 S 波（直達波），直接由震源傳播到地震台。 P 波的速度等於 $5\cdot4-5\cdot6$ 公里/秒； S 波的速度等於 $3\cdot3-3\cdot4$ 公里/秒。

P^* 波和 S^* 波是在花崗岩層與玄武岩層之間的分界面上發生繞射的波。

P 波和 S 波是地殼底層界面上發生繞射的波（震中距繼續增加時，它註：本章所附的圖和表見附件

們變成 P 和 S 折射波)。

如震源位於中間層，縱波 P_* 及 P 及橫波 S_* 及 S 被觀測到(圖 73)。
 P_* 和 S_* 是在花崗岩與玄武岩層的界面上發生折射的波，這一類的波並不是經常能夠與 P 波和 S 波區別開來的，因為震源深度測定的準確度還不能達到那樣足夠的程度。

如果震源位於下層，則地震圖上僅能觀測到 P 波和 S 波(圖 74)。

地震波的走時 t 是隨震中距 Δ 的增加而增加的，以表格或圖形的方式表示出來的 t 對於 Δ 的關係圖稱為地震波的時距曲線圖，繪制各種不同地震波的時距曲線，要利用震中距不同的幾個地震台所紀錄下來的一個或幾個地震的數據，因而每一種地震波的傳播路徑，及其時距曲線，都決定於地殼構造和震源深度。各地區的地殼構造都有其特殊性。因此，對於各個紀錄到近震的地區，都必須要繪制其個別的時距曲線圖。既然時距曲線也決定於震源深度，所以時距曲線就是適合於不同深度震源的曲線族。

各種不同的地震波的時距曲線方程式有如下的一種形式：

對於直达波 P 和 S

$$t_p = \sqrt{\frac{\Delta^2 + h^2}{V_p^2}} ; \quad t_s = \sqrt{\frac{\Delta^2 + h^2}{V_s^2}}$$

式中， t_p 和 t_s 為 P 和 S 的走時；

V_p 和 V_s 為花崗岩層中縱波與橫波的速度；

Δ 為震中距；

h 為震源深度。

這兩個方程式，在 $t = \frac{h}{V}$ 的情況下，符合於與 t 軸交叉的雙曲線。它們都具有一般的漸近線 $t = \frac{\Delta}{V}$ 。

在离地震台相距甚远的情况下当 h 小于 Δ 时，方程式可以改变为渐近线方程式。

对于 P^* 波和 S^* 波，时距曲线方程式是：

$$t_{P^*} = \frac{\Delta}{v_{P^*}} + (2H_1 - h) \sqrt{\frac{1}{v_{P^*}^2} - \frac{1}{v_P^2}}$$

$$t_{S^*} = \frac{\Delta}{v_{S^*}} + (2H_1 - h) \sqrt{\frac{1}{v_{S^*}^2} - \frac{1}{v_S^2}}$$

式中， t_{P^*} 和 t_{S^*} 为 P^* 和 S^* 的走时；

v_{P^*} 和 v_{S^*} 为地震波在中间岩层（玄武岩层）的速度；

H_1 为上层地壳的厚度。

这两个方程式相当于直线。当震源位于上层时， P 波和 S 波的时距曲线决定于下列方程式。

$$t_P = \frac{\Delta}{v_P} + (2H_1 - h) \sqrt{\frac{1}{v_P^2} - \frac{1}{v_{P^*}^2}} + 2H_1 \sqrt{\frac{1}{v_{P^*}^2} - \frac{1}{v_P^2}}$$

$$t_S = \frac{\Delta}{v_S} + (2H_1 - h) \sqrt{\frac{1}{v_S^2} - \frac{1}{v_{S^*}^2}} + 2H_1 \sqrt{\frac{1}{v_{S^*}^2} - \frac{1}{v_S^2}}$$

如震源位于中间岩层，

$$t_P = \frac{\Delta}{v_P} + H_1 \sqrt{\frac{1}{v_P^2} - \frac{1}{v_{P^*}^2}} + (H + H_2 - h) \sqrt{\frac{1}{v_{P^*}^2} - \frac{1}{v_P^2}}$$

$$t_S = \frac{\Delta}{v_S} + H_1 \sqrt{\frac{1}{v_S^2} - \frac{1}{v_{S^*}^2}} + (H + H_2 - h) \sqrt{\frac{1}{v_{S^*}^2} - \frac{1}{v_S^2}}$$

这里， t_p 和 t_s 分别为 P 波和 S 波的走时；

v_p 和 v_s 为地震波在地壳下面的速度；

H 为地壳厚度；

H_2 为中间岩层（玄武岩层）厚度。

在 P 波和 S 波的时距曲线图上，P* 和 S* 成为直线。这两条时距曲线的倾斜角的余切 ($\operatorname{ct} n$) 等于下面一层中波的传播速度。被时距曲线时间轴所横截的线段，与地壳构造和震源深度有关。

第二节 到 觀測地震波的时距曲綫

处理近震时利用的各种时距曲线，取决于该地震发生的地区。

克里木地震最常见的是震源深度为 10-20 公里，在处理这些地震时不
超过 150 公里的地震时，应利用维兹卡娅在研究克里木地震时所绘制的时
距曲线图（见表 18）。

处理中亚细亚地震所利用的时距曲线图，是罗索娃（Е. А. РОЗОВА）
研究中亚细亚地震时绘制的（见表 19）。

对于高加索地震带，应利用维兹卡娅和列别杰娃（Т. М. ЛЕБЕДЕВА）
根据高加索台的观测所绘制的时距曲线图（表 20）。这些相应的地震图
见后第四节“处理地震范例”。

第三节 地震图的处理

时间记号和时间校正值的决定 当记录仪器在地震图上纪录时，每
进行一分钟约间断一秒钟。这种纪录间断称为分号。从标誌在地震图上的



分号起可以計算出整个小时或者半小时，用數目字在紀錄紙上标出完整的时數。既然記錄仪器上滚筒的轉动是均匀的，那么这些數目字在地震图上就沿着直線，与記錄綫成直角分布着（見地震图附录）。这时只須決定兩個时号，就是以次序計算出时间分号來。假如再以直線把这些符号联起來，则在这条線上也将分布着其余的时号，可以不計每一个分号，而立即将它们标出。时间标上之后，必須校驗訊号起始时间以及訊号时本身的間隔与記錄紙上鉛点的标誌是否一致。

这样，标出的时号就符合於接触鉛所指出的，接触鉛所指示的时间是根据无线电接收來的並打到地震图上去的准确的時間信号來進行校正的。无线电在打准确的時間信号的时候，接触鉛所指的时间可能与准确的时间有差別，其差別的值等於接触鉛的校正值。如果准确的時間信号早於接触鉛在地震图上所标出的时间（接触鉛慢），則校正值为正數，如果准确時間信号迟（接触鉛快），則校正值为負數，所得的时间校正值記錄在記錄紙的反面並表明无线电時間信号。例如：

27/VII 4 h, 時間校正值 = + 1 秒 1/VII 4 h, 時間校正值 = -1 秒

28/VII 4 h, 時間校正值 = - 1 秒 2/VII 4 h, 時間校正值 = +1 秒

一昼夜時間变化等於 -2 秒 一昼夜時間变化等於 +2 秒

2/VIII 4 时, 時間校正值 = 0 秒

3/VIII 4 时, 時間校正值 = -1 秒

一昼夜時間变化等於 -1 秒

必須指出，在地震工作中为了便於把各个地震台的数据進行比較起見通常是採用格林威治時間的，它比莫斯科時間晚三小時。（譯者註：比北京時間晚八小時。）

在記錄地震时，接触鉛的校正值間接決定於对开始記錄地震的时间的內插法，因此，在地震图的反面，必須根据无线电在地震前和地震后发生的时间信号所确定的時間校正值把它記錄下來。時間校正值不应超过一分

鉙；在相反情況下，則須要將分針撥動，并將所撥動的時和分表明在接觸鉙的日誌內（譯者註：即我們所用的對鉙時間表）在作接觸鉙日誌時，也如其他的步驟一樣，應嚴格遵照蘇聯科學院主席團地震委員會所批准的關於蘇聯地震台觀測進行程序的指示（見附錄1）。

在地震圖上是用玻璃比例尺（分度器）進行量度的（譯者註：即我們所用的量秒尺又称量片）。比例尺上面有許多彼此間隔一毫米的平行線。這些線與對稱地自分度器中央分布着的散射線相交。

記憶記錄的滾筒是以均勻的速度轉動，例如，每分鐘60或30毫米。那麼，毫米記憶線就絲毫不差地相當於1和2秒。但是記錄紙上的分鐘間的長度並不經常一樣。因此，在最慢地震波到達的時間前，必須要能够不根據長度，以秒來除分鐘間段。為此就要利用玻璃比例尺上的散射線，當最邊端的散射線與分鐘間的原點和終點不一致時，把比例尺上下移動。同時地震台應及早規定：按照接觸鉙使每一分鐘的起始符合於接分號的原點或終點。

另一種可以測定地震波到達時間的方法，是只用分度器上的平行線，進行測定時，把玻璃比例尺放在地震圖上，使其平行線垂直於記錄紙的記錄線，並量出兩相鄰分號之間的毫米數。用這種方法測定出相當於1毫米秒的數值來。

同時應當注意，所有的量度應當保持在零線不遠處：距離零線很遠的線點應當使投射在零線上。

地震圖的處理 每一張地震圖都要自始至終仔細地加以研究，以查明所有到達的地震波。已發現到達的地震波，要用箭頭標出它的到達時間，如波的起始很清晰，則在波的符號前加注號1號，如波的起始不清晰，則在波的符號前加註e號。符號1和e也可以單獨標誌在性質尚未清楚的地震波上。如果在地震圖上發現有一個波的起始微弱，而其繼續的振動根本不顯著，那末在這個波的起始點上標上e，確定每一種波到達的時間，是

根据所有的分向进行的，从这些分向，在地震台公报中表明其最早到达时间。如果可能，还要量度每一种波的振动周期。

随后就应当指出，已发现的起始点是符合於那一种波。

第一个起始，周期比較短，通常符合於纵波。第二个起始点，其特点是变化剧烈，振幅和周期时常增大，这在大多数情况下，符合於横波。纵波的到达，一般都是地震图上的垂直分向比較强。而横波的到达，则一般都是水平分向上的比較清晰。

如果地震非常近，并且震源又靠近地面，那么纵波几乎是同时到达地震台，在地震台上发现的是一个起始，这个起始用 \bar{P} 来标志。

在震中距 $\Delta < 150 \sim 200$ 公里时，由於震源深度和地壳构造的关系，首先在地震图上发现的应当是 \bar{P} 波，然后是 P^* 波或 P 波；然而它们难於区分，因为它们的起始彼此相隔很近。在这种情况下，纵波的到达点标以 \bar{P} 号，而横波标以 \bar{s} 。彼此到达时间的差不超过2.5秒。

如 $\Delta > 150 \sim 200$ 公里，則 P 波将比 \bar{P} 波先到。直达波 \bar{P} 的起始，一般常比绕射波 P 的起始較强較清晰。

$\Delta > 300$ 公里时，地震图上开始出现比 \bar{s} 早到达的绕射波 S ， S 波的起始，通常比 \bar{s} 較弱。

根据一个地震台的记录來区分 S^* 波是很困难的。 S^* 波的起始，在震图上应当是位於 S 和 \bar{s} 波的起始之間。这种波在大多数情况下比 S 波較强，因而在震中距为 $200 \sim 300$ 公里时，就已能在地震图上發現。有时候， S^* 波的起始非常清晰，其强度可以与 \bar{s} 波相比拟。在这些情况下，根据一个台的记录來区分 S^* 和 \bar{s} 波就很困难（特别是当震中距为 $200 - 300$ 公里， S^* 和 \bar{s} 的走时在差別很小的情况下）。

震中距超过 $700 \sim 800$ 公里时，在地震图上只能覈测到 P 波和 S 波。近震时同样也有面波产生，它沿着地球表面傳播。如震源深度小，註：本部分中所敘述的內容，在下面處理覈測的实例中將予以說明。